

3

Modelo Numérico de Análise de antenas Espirais pelo método dos momentos

A antena aqui estudada é uma abertura na forma de espiral em uma cavidade ressonante, de diâmetro D e profundidade L , colocada em um plano de terra condutor infinito, como mostra a Fig. 3.1. A abertura é excitada por uma fonte de tensão localizada no seu centro. Esta fonte de tensão será representada por uma corrente magnética unitária \vec{M}_{excit} .

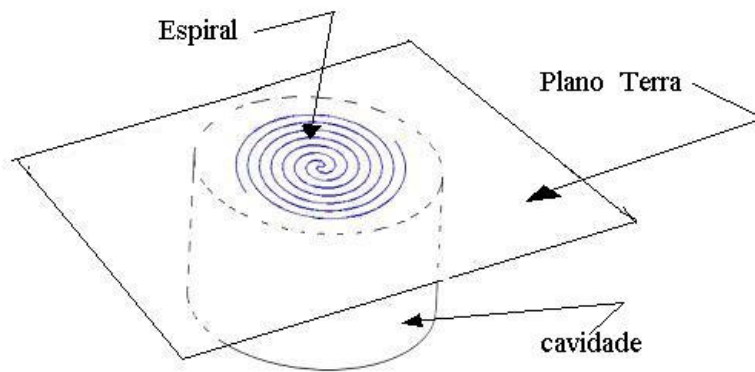


Figura 3.1 - Antena espiral colocada sob uma cavidade cilíndrica

Os campos na abertura da antena, e em consequência os campos radiados, serão determinados pelo método dos momentos. Para isso, será aplicado o teorema da equivalência, de forma a dividir o espaço em duas regiões, como mostrado na Fig 3.2.

A região I é formada por um plano condutor perfeito, com uma corrente magnética \vec{M} em sua superfície e a região II é constituída por uma cavidade ressonante cilíndrica excitada por uma corrente magnética $-\vec{M}$.

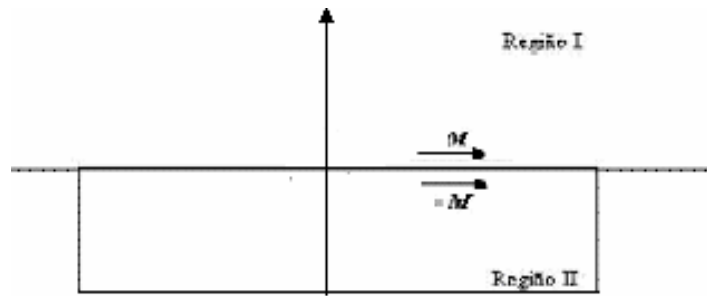


Figura 3.2 - Vista em perspectiva do conjunto antena/cavidade

A corrente magnética \vec{M} é dada por:

$$\vec{M} = \vec{E}_{abertura} \times \vec{a}_z \quad (3.1)$$

onde \vec{a}_z é o vetor unitário na direção z, e $\vec{E}_{abertura}$ é campo elétrico na abertura da antena, a ser determinado. O eixo dos z é perpendicular ao plano da abertura, e passa pelo seu centro.

As condições de contorno na abertura da antena impõem que:

$$\vec{a}_z \times \{ \vec{H}_{ext}(\vec{M}) + \vec{H}_{ext}(\vec{M}_{excit}) \} = \vec{a}_z \times \{ \vec{H}_{int}(-\vec{M}) + \vec{H}_{int}(-\vec{M}_{excit}) \} \quad (3.2)$$

onde

$\vec{H}_{ext}(\vec{M})$ é o campo magnético devido à corrente \vec{M} , na região I, e

$\vec{H}_{int}(\vec{M})$ é o campo magnético devido à corrente \vec{M} , na região II

A partir de (3.2), a corrente magnética \vec{M} será determinada pelo Método dos Momentos.

Expandindo-se \vec{M} em funções de base tem-se

$$\vec{M} = \sum_{j=1}^I \alpha_j \vec{M}_j \quad (3.3)$$

onde \vec{M}_j são as funções de base e α_j coeficientes a serem determinados. As funções de base a serem utilizadas no presente trabalho serão descritas no item 3.4

Substituindo-se em (3.3) em (3.2) tem-se;

$$\sum_{j=1}^I \alpha_j \{ \vec{a}_z \times \vec{H}_{ext}(\vec{M}_j) \} + \sum_{j=1}^I \alpha_j \{ \vec{a}_z \times \vec{H}_{int}(\vec{M}_j) \} = -\vec{H}_{ext}(\vec{M}_{excit.}) \times \vec{a}_z - \vec{H}_{int}(\vec{M}_{excit.}) \times \vec{a}_z \quad (3.4)$$

Aplicando-se o método de Galerkin (funções de teste dadas por $\vec{W}_i = \vec{a}_z \times \vec{M}_i$), resulta:

$$\sum_{j=1}^I \alpha_j \left\{ \int_{si} \vec{M}_i \cdot \vec{H}_{ext}(\vec{M}_j) ds_i + \int_{si} \vec{M}_i \cdot \vec{H}_{int}(\vec{M}_j) ds_i \right\} = - \int_{si} \vec{M}_i \cdot \vec{H}_{ext.}(\vec{M}_{excit.}) ds_i - \int_{si} \vec{M}_i \cdot \vec{H}_{int.}(\vec{M}_{excit.}) ds_i \quad (3.5)$$

$$i = 1, 2, \dots, I$$

Sendo as integrais efetuadas sobre o domínio das funções de teste \vec{M}_i .

O sistema de equações lineares (3.5) pode ser colocado na forma matricial:

$$[A][\alpha] = [A_{excit.}] \quad (3.6)$$

onde o vetor coluna $[\alpha]$ contém os coeficientes α_j ,

Os elementos do vetor coluna $[A_{excit}]$ são dados por:

$$A_{j\ excit.} = -\int_{si} \vec{M}_i \cdot \vec{H}_{ext}(\vec{M}_{excit}) ds_i - \int_{si} \vec{M}_i \cdot \vec{H}_{int}(\vec{M}_{excit}) ds_i \quad (3.7)$$

e os elementos da matriz quadrada $[A]$ são dados por

$$A_{ij} = A_{ij\ ext.} + A_{ij\ int} \quad (3.8)$$

Sendo

$$A_{ij\ ext.} = \int_{si} \vec{M}_i \cdot \vec{H}_{ext}(\vec{M}_j) ds_i \quad (3.9)$$

e

$$A_{ij\ int} = \int_{si} \vec{M}_i \cdot \vec{H}_{int}(\vec{M}_j) ds_i \quad (3.10)$$

O desenvolvimento das expressões de $A_{ij\ ext.}$ e $A_{ij\ int}$ de modo a colocá-las em uma forma adequada à computação numérica, são apresentado nos próximos itens.

3.1.

O cálculo de $A_{ij \text{ ext.}}$

Para o cômputo de $A_{ij \text{ ext.}}$, dado por (3.9), é necessário, inicialmente, obter-se a expressão de $\vec{H}_{\text{ext}}(\vec{M}_j)$, o que pode ser feito aplicando-se a teoria das imagens, potencial vetor e função de Green escalar para o espaço livre. Resulta[12]

$$\vec{H}(\vec{M}_j) = \frac{-j\omega\epsilon}{2\pi} \int \vec{M}_j G ds'_j + \frac{1}{2j\pi\omega\mu} \nabla \int \nabla' \cdot \vec{M} G ds'_j \quad (3.11)$$

onde ϵ e μ são a permissividade e a permeabilidade do espaço livre, respectivamente, e

$$G = \frac{e^{-jkR}}{R} \quad (3.12)$$

sendo k o número de onda para o espaço livre e R a distância da fonte ao ponto de observação, dada por

$$R = \sqrt{(x'-x)^2 + (y'-y)^2} \quad (3.13)$$

onde x, y são as coordenadas do ponto de observação x', y' e são as coordenadas da fonte. As integrações indicadas são efetuadas sobre as coordenadas da fonte.

Substituindo-se (3.11) em (3.9) tem-se :

$$A_{ij \text{ ext.}} = \frac{-j\omega\epsilon}{2\pi} A_{ij \text{ ext.}}^{(1)} + \frac{1}{2\pi j\omega\mu} A_{ij \text{ ext.}}^{(2)} \quad (3.14)$$

onde

$$A_{ij \text{ ext.}}^{(1)} = \int_{s_i} \vec{M}_i \cdot \left\{ \int_{s_j} \vec{M}_j G ds'_j \right\} ds_i \quad (3.15)$$

$$A_{ij\ ext.}^{(2)} = \int_{s_i} \vec{M}_i \cdot \left\{ \nabla \int_{s_j} \nabla' \cdot \vec{M}_j G ds'_j \right\} ds_i \quad (3.16)$$

Para a determinação numérica de (3.15) e (3.16), será admitido que $\vec{H}(\vec{M}_j)$ assume valores razoavelmente constantes sobre o domínio de \vec{M}_i . Assim, tem-se para (3.15):

$$A_{ij\ ext.}^{(1)} = \int_{s_i} \vec{M}_i ds_i \cdot \int_{s_j} \vec{M}_j G ds'_j \quad (3.17)$$

sendo o ponto de observação, para a integração em s_j , o centro do domínio de \vec{M}_i .

Para as integrações em (3.16), será aplicada integração por partes na integral em s_i , objetivando-se, com isso, eliminar as derivadas da integral em s_j , contidas no gradiente daquela integral. Resulta, após alguma manipulação algébrica:

$$A_{ij\ ext.}^{(2)} = \left\{ \int_{y_1}^{y_2} \left[M_{ix} GM(\vec{M}_j) \right]_{x=x_l(y)}^{x=x_d(y)} dy_i - \int_{s_i} \frac{\partial M_{ix}}{\partial x} GM(\vec{M}_j) ds_i \right. \\ \left. + \int_{x_1}^{x_2} \left[M_{iy} GM(\vec{M}_j) \right]_{y=y_i(x)}^{y=y_s(x)} dx_i - \int_{s_i} \frac{\partial M_{iy}}{\partial y} GM(\vec{M}_j) ds_i \right\} \quad (3.18)$$

onde $\left[F \right]_{x=x_1}^{x=x_2}$ significa valor da função F para $x = x_2$ menos o valor de F para $x = x_1$, y_2, y_1, x_2, x_1 são os valores máximo e mínimo de y e x , respectivamente, no domínio da integração, $x_d(y)$ e $x_e(y)$ são as funções de y que definem os limites direito e esquerdo da região de integração, $y_s(x)$ e $y_i(x)$ são as funções de x que definem os limites superior e inferior da região de integração e

$$GM(\vec{M}_j) = \int_{s_j} \nabla' \cdot \vec{M}_j G ds'_j \quad (3.19)$$

Os integrandos das integrais em s_j , em (3.17) e em (3.18), tornam-se singulares quando o ponto de observação está no domínio da integração, pois como se verifica em (3.12) e (3.13), quando $x \rightarrow x'$ e $y \rightarrow y'$, $R \rightarrow 0$ e $G \rightarrow \infty$. O tratamento numérico dessas singularidades está no apêndice B. Os detalhes da dedução de (3.18), particularizada para as funções de base a serem definidas no item 3.4, estão no apêndice C.

3.2.

O cálculo de $A_{ij \text{ int.}}$.

$A_{ij \text{ int.}}$ é dado por (3.10). Para sua determinação basta calcular-se $\vec{H}_{\text{int.}}(\vec{M}_j)$, o que será feito a seguir.

Os campos no interior da cavidade serão calculados pela utilização da Diádica de Green, ou seja,

$$\vec{H}_{\text{int.}}(\vec{M}_j) = \int \overline{\overline{G}}(\vec{r}, \vec{r}') \cdot \vec{M}_j ds'_j \quad (3.20).$$

onde $\overline{\overline{G}}(\vec{r}, \vec{r}')$ é a diádica de Green da cavidade e \vec{r} e \vec{r}' são os vetores posição do ponto de observação e da fonte, respectivamente.

Duas situações serão consideradas: a cavidade terminada por um condutor perfeito ou por uma estrutura de microondas com matriz de espalhamento conhecida. na Fig. 3.3 (a) e (b).

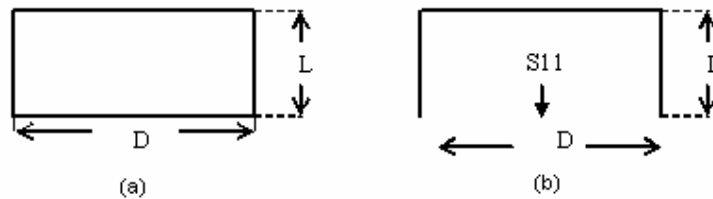


Figura 3.3 – Perfil da Cavidade, (a) terminada por condutor perfeito, (b) terminada por estrutura de microondas

3.2.1.**Campo Magnético em cavidade terminada por condutor perfeito**

Nesse caso a diádica de Green é dada por:

$$\begin{aligned} \bar{\bar{G}}(\vec{r}, \vec{r}') = & \sum_n \left[\frac{\vec{h}_n^>(\vec{r})\vec{h}_n^<(\vec{r}')}{2Y_n} u(z-z') + \frac{\vec{h}_n^<(\vec{r})\vec{h}_n^>(\vec{r}')}{2Y_n} u(z'-z) \right] \\ & + \sum_n \frac{e^{-\Gamma_n L} \vec{h}_n^>(\vec{r})\vec{h}_n^<(\vec{r}') - e^{-\Gamma_n L} \vec{h}_n^<(\vec{r})\vec{h}_n^>(\vec{r}')}{2Y_n(e^{\Gamma_n L} - e^{-\Gamma_n L})} \\ & + \sum_n \frac{e^{-\Gamma_n L} \vec{h}_n^<(\vec{r})\vec{h}_n^>(\vec{r}') - e^{-\Gamma_n L} \vec{h}_n^>(\vec{r})\vec{h}_n^<(\vec{r}')}{2Y_n(e^{\Gamma_n L} - e^{-\Gamma_n L})} - \frac{\delta(\vec{r} - \vec{r}')}{j\omega\mu} \vec{a}_z \vec{a}_z \end{aligned} \quad (3.21)$$

onde o somatório é efetuado sobre os modos do guia que constitui a cavidade, $\vec{h}_n^>$ e $\vec{h}_n^<$ são os campos modais do modo n , para propagação nas direções positiva e negativa do eixo dos z , respectivamente, $u(z)$ é o degrau unitário de Heaviside, Γ_n é a constante de propagação do modo n , $\delta(z)$ é o impulso de Dirac e

$Y_n = \int \vec{e}_n^> \times \vec{h}_n^< \cdot ds'$, sendo a integração efetuada sobre a seção transversal do guia, e $\vec{e}_n^>$ é o campo elétrico modal do modo n , para propagação na direção positiva do eixo dos z .

A dedução da expressão da diádica de Green está no apêndice A.

Para o caso particular da corrente \vec{M}_j , a expressão da componente transversal do campo magnético, em um ponto com $z=0$, $\vec{H}^T(\vec{M}_j)$, assume a forma:

$$\vec{H}^T(\vec{M}_j) = - \sum_n \frac{1}{Y_n} \vec{h}_n^T(\vec{r}) \frac{\begin{pmatrix} 1 + e^{-2\Gamma_n L} \\ 1 - e^{-2\Gamma_n L} \end{pmatrix}}{\begin{pmatrix} 1 + e^{-2\Gamma_n L} \\ 1 - e^{-2\Gamma_n L} \end{pmatrix}} \int \vec{h}_n^T(\vec{r}') \cdot \vec{M}_j ds'_j \quad (3.22)$$

onde $\vec{h}_n^T(\vec{r})$ é a componente transversal do campo magnético, para o modo n , propagando-se na direção positiva do eixo z .

3.2.2.**Campo em Cavidade terminada por estrutura de microondas**

O perfil da cavidade é o mostrado na Fig. 3.3b. A expressão diádica de Green é deduzida no apêndice A, e é repetida abaixo:

$$\begin{aligned} \overline{\overline{G}}(\vec{r}, \vec{r}') = & \sum_n \left[\frac{\vec{h}_n^>(\vec{r}) \vec{h}_n^<(\vec{r}')}{2Y_n} u(z - z') + \frac{\vec{h}_n^<(\vec{r}) \vec{h}_n^>(\vec{r}')}{2Y_n} u(z' - z) \right] \\ & + \sum_n \frac{\vec{h}_n^>(\vec{r}) \vec{\alpha}_n(\vec{r}')}{2Y_n} + \sum_n \frac{\vec{h}_n^<(\vec{r}) \vec{\gamma}_n(\vec{r}')}{2Y_n} - \frac{\delta(\vec{r} - \vec{r}')}{j\omega\mu} \vec{a}_z \vec{a}_z \end{aligned} \quad (3.23)$$

onde os vetores $\vec{\alpha}_n(\vec{r}')$ e $\vec{\gamma}_n(\vec{r}')$ são dados pela n-ésima coluna das matrizes $[\alpha]$ e $[\gamma]$, abaixo (observe-se que cada elemento de $[\alpha]$ e $[\gamma]$ é um vetor):

$$[\gamma] = -[[I] + [ST]]^{-1} [[H^>] + [ST][H^<]] \quad (3.24)$$

$$[\alpha] = -[\gamma] - [H^<] \quad (3.25)$$

sendo $[I]$ a matriz de identidade, $[ST]$ uma matriz quadrada, com elementos dados por :

$$ST_{ij} = \frac{Y_i}{Y_j} e^{-(\Gamma_i + \Gamma_j)L} s_{11ij}$$

e cada elemento dos vetores $[H^>]$ e $[H^<]$ são os vetores $\vec{h}_n^>(\vec{r}')$ e $\vec{h}_n^<(\vec{r}')$, respectivamente.

3.3. As Funções de Base

A abertura da antena será aproximada por uma seqüência de quadriláteros, conforme mostrado figura 3.4 . As funções de base serão definidas com um domínio correspondente a cada um dos quadriláteros, e escolhidas de forma a satisfazer a continuidade da componente tangencial do campo elétrico da aresta de separação entre dois quadriláteros vizinhos. Associadas a cada quadrilátero haverá duas funções de base: cada uma delas será tangente e com valor unitário sobre uma das arestas de separação entre quadriláteros, e se anulará na outra aresta.

Para se obter as funções que satisfaçam os requisitos acima, será aplicada uma transformação conforme, a partir de um quadrado de lado unitário, como mostrado na fig. 3.5

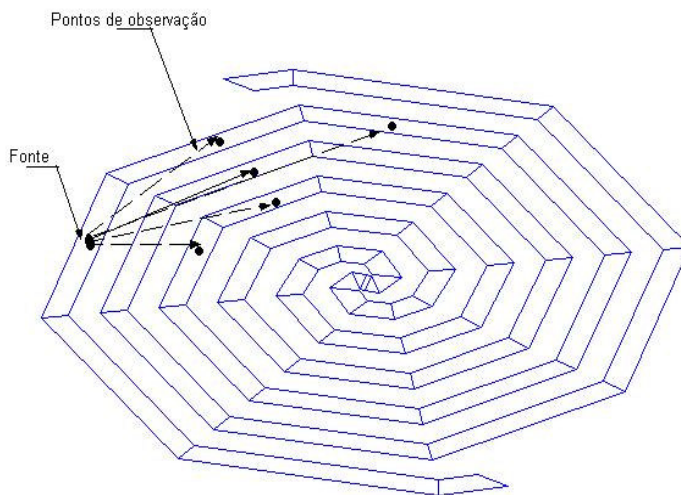


Figura 3.4 – Aproximação da abertura espiral por quadriláteros

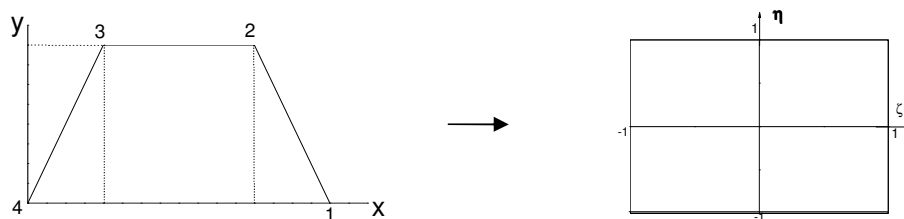


Figura 3.5 – Transformação Conforme do quadrilátero, domínio da função de base, para quadrado de lado unitário. Os vértices do quadrilátero estão numerados por 1,2,3 e 4

As coordenadas x e y do sistema cartesiano associado ao quadrilátero, como mostrado na Fig. 3.5, estão relacionadas com as coordenadas ξ e η do quadrado por:

$$x = a + b\xi + c\eta + d\xi\eta \quad (3.25a)$$

$$y = a' + b'\xi + c'\eta + d'\xi\eta \quad (3.25b)$$

Os coeficientes $a, b, c, d, a', b', c', d'$ são obtidos aplicando-se (3.25) aos vértices do quadrilátero. Ou seja:

$$\begin{cases} x_1 = a + b - c - d \\ x_2 = a + b + c + d \\ x_3 = a - b + c - d \\ x_4 = a - b - c + d \end{cases} \quad (3.26)$$

$$\begin{cases} y_1 = a' + b' - c' - d' \\ y_2 = a' + b' + c' + d' \\ y_3 = a' - b' + c' - d' \\ y_4 = a' - b' - c' + d' \end{cases} \quad (3.27)$$

Onde $(x_1, y_1), (x_2, y_2), (x_3, y_3), (x_4, y_4)$ são as coordenadas x e y dos vértices 1, 2, 3 e 4, respectivamente, do quadrilátero. Esses vértices estão indicados na Fig. 3.5.

Resolvendo-se os sistemas de equações (3.9) e (3.10), e levando-se em conta que $y_1 = y_4 = 0$ e $y_2 = y_3$, obtém-se:

$$a = \frac{x_1 + x_2 + x_3 + x_4}{4} \quad (3.28a)$$

$$b = \frac{x_1 + x_2 - x_3 - x_4}{4} \quad (3.28b)$$

$$c = \frac{-x_1 + x_2 + x_3 - x_4}{4} \quad (3.28c)$$

$$d = \frac{-x_1 + x_2 - x_3 + x_4}{4} \quad (3.28d)$$

$$a' = c' = \frac{y_2}{2} \quad (3.28e)$$

$$b' = d' = 0 \quad (3.28f)$$

como $b' = d' = 0$, (3.25) assume a forma:

$$x = a + b\xi + c\eta + d\xi\eta \quad (3.29a)$$

$$y = a' + c'\eta \quad (3.29b)$$

Explicitando-se ξ e η em (3.29), tem-se,

$$\xi = \frac{c'x - cy - c'a + ca'}{c'b + dy - da'} \quad (3.30a)$$

$$\eta = \frac{y - a'}{c'} \quad (3.30b)$$

O vetor unitário na direção η , \vec{a}_η , é transformado em um vetor tangente às arestas entre os vértices 1 e 2 e entre os vértices 3 e 4, no plano xy , como necessário para garantir a continuidade do campo elétrico nessas arestas. Essa transformação é dada por:

$$\vec{a}_\eta = \frac{\partial \vec{r} / \partial \eta}{\left| \partial \vec{r} / \partial \eta \right|} \quad (3.31)$$

onde $\vec{r} = x\vec{a}_x + y\vec{a}_y$ é o vetor posição. Substituindo-se, em (3.31) x e y pelas eqs. (3.12a) e (3.12b), tem-se:

$$\vec{a}_\eta = \frac{(c + d\xi)}{\sqrt{(c + d\xi)^2 + c'^2}} \vec{a}_x + \frac{c'}{\sqrt{(c + d\xi)^2 + c'^2}} \vec{a}_y \quad (3.32)$$

A partir desses vetores, constrói-se as duas funções de base, $\vec{M}_j^{(1)}$ e $\vec{M}_j^{(2)}$ associadas a um determinado quadrilátero. Cada uma dessas funções de base se anula sobre a aresta entre os vértices 1 e 2 ou 3 e 4 (A corrente magnética sobre uma aresta é definida por apenas uma função de base, o que assegura a continuidade da componente transversal do campo elétrico). Como $\vec{M} = \vec{a}_z \times \vec{E}$, tem-se

$$\vec{M}_j^{(1)} = \frac{(1 + \xi)c'}{2\sqrt{(c + d)^2 + c'^2}} \vec{a}_x - \frac{(1 + \xi)(c + d\xi)}{2\sqrt{(c + d)^2 + c'^2}} \vec{a}_y \quad (3.33a)$$

$$\vec{M}_j^{(2)} = \frac{(1 - \xi)c'}{2\sqrt{(c - d)^2 + c'^2}} \vec{a}_x - \frac{(1 - \xi)(c + d\xi)}{2\sqrt{(c - d)^2 + c'^2}} \vec{a}_y \quad (3.33b)$$

$\vec{M}_j^{(1)}$ e $\vec{M}_j^{(2)}$ foram construídas a partir de $\vec{a}_z \times \vec{a}_\eta$, impondo-se a condição de valor unitário sobre uma das arestas do quadrilátero e valor nulo na outra (o que é obtido pela introdução do fator $(1 \pm \xi)$)